

双三次 B 样条插值曲面^{*}

方 遼

(长沙大学教学与计算机系, 长沙, 410003)

摘要 本文研究三次 B 样条插值曲面。对于给定的拓扑网格点阵 $P_{i,j}$, 导出了其插值三次 B 样条曲面的控制顶点, 每四个顶点 $P_{i,j}, P_{i+1,j}, P_{i,j+1}, P_{i+1,j+1}$ 由九个三次 B 样条曲面片构成, 整个曲面是 C^2 连续的, 最后, 给出了一个数值实例。

关键词 CAGO 三次 B 样条曲面 插值

1. 引言

曲面插值在计算机辅助几何设计中有着广泛的应用, 它是曲面造型的一种重要方法。目前曲面插值有多种方法, 比较典型的有分块 Bézier 插值曲面^[1], 三角曲面片拼接^[2-3], 三次 B 样条插值曲面^[4]等。三次 B 样条插值曲面一般必须通过反算控制顶点来实现, 且曲面的局部形状控制很困难。本文利用均匀三次 B 样条曲线的端点性质, 直接计算三次 B 样条曲面的控制顶点使曲面插值型值点, 该方法可局部修改, 且曲面无需求解大型的矢量方程, 从而计算费用小, 曲面实现方便, 数值实例表明本文的方法是有效的。

2. 双三次 B 样条曲面插值

给定 $(n+1) \times (m+1)$ 个空间点阵 $\vec{r}_{ij} (i=0, 1, \dots, n; j=0, 1, \dots, m)$, 双三次 B 样条曲面可分块表示为

$$\vec{r}_{l,k}(u, v) = \sum_{i=0}^3 \sum_{j=0}^3 E_{i,3}(u) E_{j,3}(v) \vec{r}_{(i+1)(j+1)},$$
$$0 \leq u, v \leq 1, l=0, 1, \dots, n-3, k=0, 1, \dots, m-3 \quad (2.1)$$

其中 基函数为

$$\begin{aligned} E_{0,3}(t) &= (-t^3 + 3t^2 - 2t + 1)/3! \\ E_{1,3}(t) &= (3t^3 - 6t^2 + 4)/3! \\ E_{2,3}(t) &= (-3t^3 + 2t^2 + 3t + 1)/3! \\ E_{3,3}(t) &= t^3/3! \end{aligned}$$

变量 t 可用 u 或 v 代替, 这里 \vec{r}_{ij} 称为 deBoor 点。

* 湖南省教育厅科研课题资助项目(00C022)

蔡海涛教授推荐

收稿日期: 2001 年 2 月 5 日

由方程(2.1)式易知, 三次 B 样条曲面块的四条边界曲线为

$$\left. \begin{aligned} \vec{r}_{l,k}(0,v) &= \frac{1}{6} \sum_{j=0}^3 E_{j,3}(v) \left(\vec{r}_{e(j+k)} + 4\vec{r}_{(l+1)(j+k)} + \vec{r}_{(l+2)(j+k)} \right) \\ \vec{r}_{l,k}(1,v) &= \frac{1}{6} \sum_{j=0}^3 E_{j,3}(v) \left(\vec{r}_{(l+1)(j+k)} + 4\vec{r}_{(l+2)(j+k)} + \vec{r}_{(l+3)(j+k)} \right) \\ \vec{r}_{l,k}(u,0) &= \frac{1}{6} \sum_{j=0}^3 E_{i,j}(u) \left(\vec{r}_{i+e(k)} + 4\vec{r}_{(i+e)(k+1)} + \vec{r}_{i+l(K+2)} \right) \\ \vec{r}_{l,k}(u,1) &= \frac{1}{6} \sum_{j=0}^3 E_{i,j}(u) \left(\vec{r}_{(i+l)(k+1)} + 4\vec{r}_{(i+l)(k+2)} + \vec{r}_{(i+e)(k+3)} \right) \end{aligned} \right\} \quad (2.2)$$

若给定空间型值点阵 $\vec{V}_{Pq} (P=0, 1, \dots, n; q=0, 1, \dots, m)$ 直接代入方程(2.1)式, 因 B 样条曲面无插值性, 所以三次 B 样条曲面无法插值 \vec{V}_{ij} 。为了构造三次 B 样条插值曲面, 本文采用扩充 DeBoor 点的方法来实现, 首先扩充端点, 定义:

$$\begin{aligned} V_{(-1)j} &= V_{0j} + (V_{0j} - 2V_{1j} + V_{2j})/4, \\ V_{(n+1)j} &= V_{nj} + (V_{(n-2)j} - 2V_{(n-1)j} + V_{nj})/4, \quad j=0, 1, \dots, m, \end{aligned} \quad (2.3)$$

$$\begin{aligned} V_{i(-1)} &= V_{i0} + (V_{i0} - 2V_{i1} + V_{i2})/4, \\ V_{i(n+1)} &= V_{in} + (V_{i(n-2)} - 2V_{i(n-1)} + V_{in})/4, \quad i=0, 1, \dots, n, \end{aligned} \quad (2.4)$$

接着沿 u 方向定义 deBoor 点 $(P=0, 1, \dots, n)$

$$\left. \begin{aligned} r_{(3P)(3q)} &= V_{Pq}, \\ r_{(3P)(3q-1)} &= V_{Pq} - \lambda_{Pq} T_{Pq}^u, \\ r_{(3P)(3q+1)} &= V_{Pq} + \lambda_{Pq} T_{Pq}^u, \end{aligned} \right\} \quad q=0, 1, \dots, m \quad (2.5)$$

其中 $T_{Pq}^u = (V_{P(q+1)} - V_{P(q-1)}) / |V_{P(q+1)} - V_{P(q-1)}|$, λ_{Pq} 是大于零的调节参数。

沿 V 方向定义 deBoor 点 $(q=0, 1, \dots, m)$:

$$\begin{aligned} r_{(3P)q} &= V_{Pq}, \\ r_{(3P-1)q} &= V_{Pq} - U_{Pq} T_{Pq}^v, \quad P=0, 1, \dots, n \\ r_{(3P+1)q} &= V_{Pq} + U_{Pq} T_{Pq}^v, \end{aligned} \quad (2.6)$$

其中 $T_{Pq}^v = (V_{(P+1)q} - V_{(P-1)q}) / |V_{(P+1)q} - V_{(P-1)q}|$, U_{Pq} 是大于零的调节参数。

由此可知: 以 $r_{ij} (i=-1, 0, 1, \dots, 3n, 3n+1; j=-1, 0, 1, \dots, 3m, 3m+1)$ 为 deBoor 点的三次 B 样条曲面为:

$$\begin{aligned} \vec{r}_{l,k}(U, V) &= \sum_{i=0}^3 \sum_{j=0}^3 E_{i,3}(u) E_{j,3}(v) r_{(i+l-1)(j+k-1)}, \\ 0 \leq u, V \leq 1, l=0, 1, \dots, 3n-1, k=0, 1, \dots, 3m-1, \end{aligned} \quad (2.7)$$

下面证明三次 B 样条曲面插值 V_{ij} 。对 $P=0, 1, \dots, n$, 由方程(2.2)以及(2.5)易知:

$$r_{l,3q}(u, 1) = \sum_{i=0}^3 E_{i,3}(u) r_{(i+l-1)3q}, \quad q=1, 2, \dots, m,$$

同理可得:

$$r_{(3P)(3q)}(1, 1) = r_{(3P)(3q)} = V_{Pq}, \quad P=0, 1, \dots, n; q=0, 1, \dots, m \quad (2.8)$$

由上证明了 $\vec{r}_{h,k}(u,v)$ 插值所有型值点阵 V_{Pq} 。

3. 数值例子

众所周知, 构造复合的 C^2 连续插值曲面是比较困难的, 例如用反算法计算分段双三次 B 样条曲面计算费用大, 曲面缺乏局部性。本文构造的曲面比较方便, 计算费用小, 曲面可以作局部修改。图 1 即为用本文方法绘制的插值曲面图形。

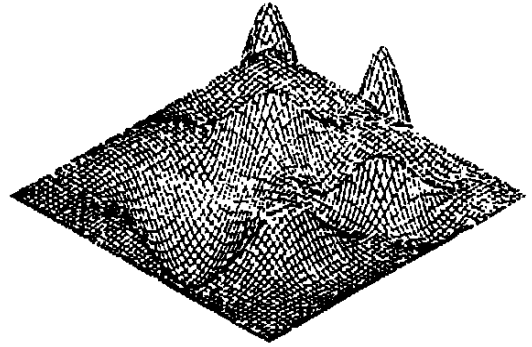


图 1

参 考 文 献

- [1] Bohm, W., A Survey of Curve and Surface Methods in CAGD, CAGD, 1984, 1(1): 1—60
- [2] Bamhill R. E., Birkhoff, G. & Gordon, W. J., Smooth Interpolation in Triangles, J. Approximation Theory, 1973, 8: 114—128
- [3] 方遼, 刘杰, 任意三角形域上的一种 C^2 插值方法, 计算数学, 1993, 15(4): 456—461
- [4] 方遼等, 计算机辅助几何设计, 河北教育出版社, 1994
- [5] Barsky, B. A. & Greenberg, D. P., Determining a set of B-spline control vertices to Generate an Interpolation surface, Comput. Graphics and Image processing, 1980, 14: 203—226

BICUBIC B—SPLINE INTERPOLATION SURFACE

Fang Kui

(Department of Mathematics & computer, changsha University, Changsha, 410003)

Abstract In this paper, bicubic interpolation surfaces are discussed. For given net points matrix $P_{i,j}$, the four vertex points $P_{i,j}$, $P_{i+1,j}$, $P_{i,j+1}$, $P_{i+1,j+1}$, the composited interpolation surface is constructed by 9 bicubic B—spline surface patches. The interpolation surface is C^2 —Continuous. Finally, a numerical example is given.

Key words CAGD, Interpolation; Bicubic B—spline surface